

## VLIV KAPALNÝCH PROSTŘEDÍ NA MECHANICKÉ VLASTNOSTI SKLA

JÜRGEN DIETER SCHNAPP\*, HARALD WINDE\*\*, HARALD BLOBEL\*,  
MAGDALENA GLATZEL\*\*

\*Sektion Technologie für den wissenschaftlichen Gerätbau  
\*\*Sektion Chemie

*Friedrich-Schiller-Universität Jena; DDR-6900-Jena*

Došlo 10. 3. 1982

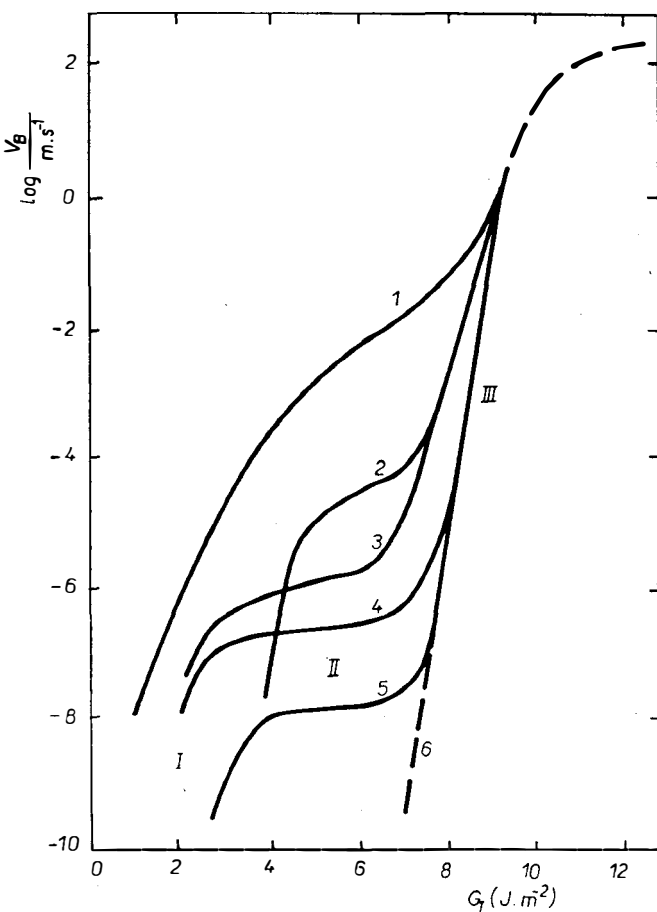
Tekutá média působí různým způsobem na mechanické vlastnosti povrchu skla. Metodou vtisku kuličky byla zkoumána tvorba a růst trhlinek u tří optických skel a skelné krystalické hmoty při současném působení vodních roztoků povrchově aktivních látek a tekutin s různou proton-akceptorovou schopností. Různá média působí na tvorbu a růst trhlinek kuželovitého Hertzova lomu různým způsobem. Existuje souvislost mezi délkou trhlin a proton-akceptorovou schopností; složení skla má podstatný vliv. Ze vztahu mezi tloušťkou a délkou trhlinek bylo možné vypočítat relativní energii lomu. V případě skelné krystalické hmoty působí ještě mechanismus brzdění růstu trhlinek. Předložené výsledky jsou důležité pro technologické postupy obrábění silikátových materiálů.

### ÚVOD

Delší dobu je známý vliv pochodů na povrchu pevných těles na jejich pevnost a na chování při lomu. Adsorpce povrchově aktivních látek na povrchu pevných látek vede ke snížení jejich povrchové energie, což se projevuje nižší potřebou energie při drcení, vrtání, broušení atd. (Rebinderův efekt) [1]. U skel byly nalezeny takové vlivy (viz např. souhrn v [2], jakož i základní práce [3–10]). Povrchově aktivní látky zde snižují napětí při deformaci a tím i mikrotvrdost [11–13]. Mají dále vliv na brusnou tvrdost a chování při obrusu [2, 6, 8, 9, 14–16] jakož i chování při vrypu [17, 18]. Povrchově aktivní látky zmenšují — pravděpodobně změnou růstu trhlinek — napětí při opracování skel (Twymannův efekt) [19]. U skel mají dále rozhodující vliv na mechanické chování trhlinky na povrchu a reakce probíhající v trhlinkách. Zvláštní význam při tom má adsorbovaná voda. Jako imanentní součást povrchové vrstvy (je třeba brát v úvahu trvalou výměnu s okolím, zvláště s vlhkostí vzduchu) je voda pro sklo vysloveně korozivně působící látkou. Příslušné chemické reakce jsou zvláště intenzívni na centrech koncentrace napětí (např. na mechanicky namáhaných hrotech trhlinek — koroze napětím v trhlinkách) [20].

Při dodání mechanické energie jsou reakce na povrchu spojeny vždy s tribochemickými pochody. Společný účinek těchto pochodů ovlivňuje značně pevnost a chování při lomu, únavu vlivem mechanického namáhání, „tečení“ v mikroměřítku, pochody při broušení aj. [21, 22], takže právě u skel jsou tyto vlivy značně komplexní. Rychlosť rozšírování trhlinek ve sklech je rozhodujícím způsobem určována adsorbovaným prostředím. Kromě vody (včetně účinku vlhkosti vzduchu) [9, 23–26, 35, 36] byly v tomto směru zkoumány v poslední době různé jiné skupiny látek (alifatické uhlovodíky [27, 35, 36], aromatické sloučeniny [26, 28], alkoholy [9, 29, 30, 35, 36], ketony [25], dimethylsulfoxid [26, 31]). Závislost

rychlosti šíření trhlinek na rychlosť uvolňovania energie  $G_1$ , popr. na faktoru intenzity napäť  $K_1$  (jednoosé namáhaní tahem) se prejavuje ve třech oblastech, které souvisí s kinetikou zde působících pochodů (obr. 1). Oblasti I a II odpovídají podkritické (termické) fázi rozširování trhlinek. Povrchově aktivní látky vedou ke změně plošiny a ke zmenšení rychlosti uvolňování energie. Silně polární molekuly podmiňují velké změny; sama  $H_2O$  ovlivňuje již v nejmenších koncentracích, popr. při nejnižších parciálních tlacích, rychlosť rozširování trhlinek [29, 30, 32, 33]. Znalost vlivu prostředí má velký praktický význam při mechanickém opracování



Obr. 1. Závislost rychlosti šíření trhlinky  $v_B$  ve skle soustavy  $Na_2O-CaO-SiO_2$  na rychlosť uvolňování energie (Rate)  $G_1$  pro některá vybraná prostředí. Oblast I: Exponenciální růst při značně menších hodnotách  $G_1$  než ve vakuum. Dochází k chemické reakci na hrotu trhlinky. Dolní hranice rychlosť uvolňování energie pro  $H_2O$  leží přibližně při  $1 \text{ J m}^{-2}$ . Oblast II: Přechodná oblast tvaru „plateau“.  $v_B$  stoupá pouze málo s  $G_1$ . Zde je určeno rozširování trhlinky transportními pochodami v trhlince. Pro  $H_2O$  leží „plateau“ při cca  $10^{-2} \text{ m s}^{-1}$ . Oblast III: Křivka přechází při zakončení v křivku pro vakuum. (Exponenciální vzkleslup až po maximální rychlosť lomu při cca  $10^3 \text{ m s}^{-1}$ ). Rozširování trhlinky je v zásadě nezávislé na okolním prostředí.

1 — voda, 2 — aceton, 3 — n-butanol, 4 — toluen, 5 — parafinový olej, 6 — vakuum.

skla, protože existuje úzká souvislost s efektivností těchto pochodů, jako je výkonost, opotřebování nástroje, kvalita povrchu aj.

Na základě známých jevů krátce zde popsaných bylo v této práci studováno chování skel při lomu za působení různých povrchově aktivních prostředí, a to metodou tlaku kuličky.

## EXPERIMENTÁLNÍ ČÁST

Působením zatížené ocelové kuličky (průměru 2,5 a 5 mm) se vytvoří v oblasti povrchu planparallelní skleněné desky, mimo zónu styku sklo/kulička, místní pole napětí. Síla působící kolmo na povrch skla se plynule zvyšuje, až je dosaženo hranice lomu a vznikne trhlinka. Stabilní nepozorovatelná a nestabilní počáteční fáze tvorby trhlinky se vyvíjí především působením koncentrace napětí společně s vlivem prostředí. Musí být co nejlépe realizován relativně konstantní stav povrchu skla, protože jeho kolísání může mít značný vliv na tvorbu trhlinky.

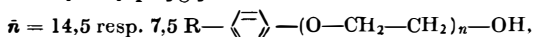
Podle maxima napětí rozloženého koncentricky s kontaktní ploškou vytváří růst trhliny na povrchu skla kruhový záprask. Kruhový záprask se šíří spočátku do hloubky skla kolmo, ale mění pak svůj směr a vytváří tak zvaný Hertzův lomový kužel. Když je tento kuželový záprask vytvořen, existuje definitivní trhlinka. Původní vlastnost povrchu pak již nepůsobí. Působení koncentrace napětí na „hrotech“ záprasku je však také závislé na složení skla (irreverzibilní a reverzibilní deformace). Byly použity tyto varianty zkoušky tlaku kuličky (obr. 2):

- Stanovení síly  $F_{HKB}$  vedoucí k Hertzovu kuželovému záprasku, a to vizuálním pozorováním počátku tvorby záprasku (rychlosť zatěžování v:  $300 \text{ N min}^{-1}$ ).
- Stanovení růstu záprasku Hertzova kužeze ortogonálním pozorováním při plynule zvyšovaném zatížení kuličky (rychlosť zvyšování zatěžování:  $300 \text{ N min}^{-1}$ ); měřen byl průměr základny kužeze  $d'_{HKB}$  v závislosti na působící síle  $F$ .
- Stanovení délky záprasku Hertzova kužeze ortogonálním pozorováním při rychlém přiložení konstantního zatížení kuličky (1000 N během 2,5 sekundy). Určována byla i změna délky záprasku v čase.

Bohaté navlhčení oblasti zatěžování důkladně vyčištěného povrchu skla zkoušenými kapalinami plně postačilo k zajistění jejich reprodukovatelného účinku.

Pro studium vlivu použitých prostředí na mechanicky očištěné povrchy skel různého chemického složení bylo použito pro zkoušky růstu praskliny křemenné sklo SQL a optická skla BaK4 a BK7, jakož i průhledné skelně krystalické látky ( $\text{Li}_2\text{O}-\text{Al}_2\text{O}_3-\text{SiO}_2$ ); a pro studium tvorby záprasků sklo BK7. Jako kapalná prostředí sloužily vodné roztoky různých tensidů (alkyl — popř. arylsulfonát, mýdla), např. trietanolaminová mýdla kyseliny olejové a nafténové ÖTS resp. NTS (ester sulfonové kyseliny, polyglykolester<sup>1</sup>, mastné alkoholy) a látky s různou protonakeceptorovou schopností (alifatické a aromatické uhlovodíky, aceton, acetonitril, dimethylsulfoxid DMSO, pyridin, kyselina olejová).

<sup>1)</sup> Dodecylfenylpolyglykoleter DPPG s hodnotou

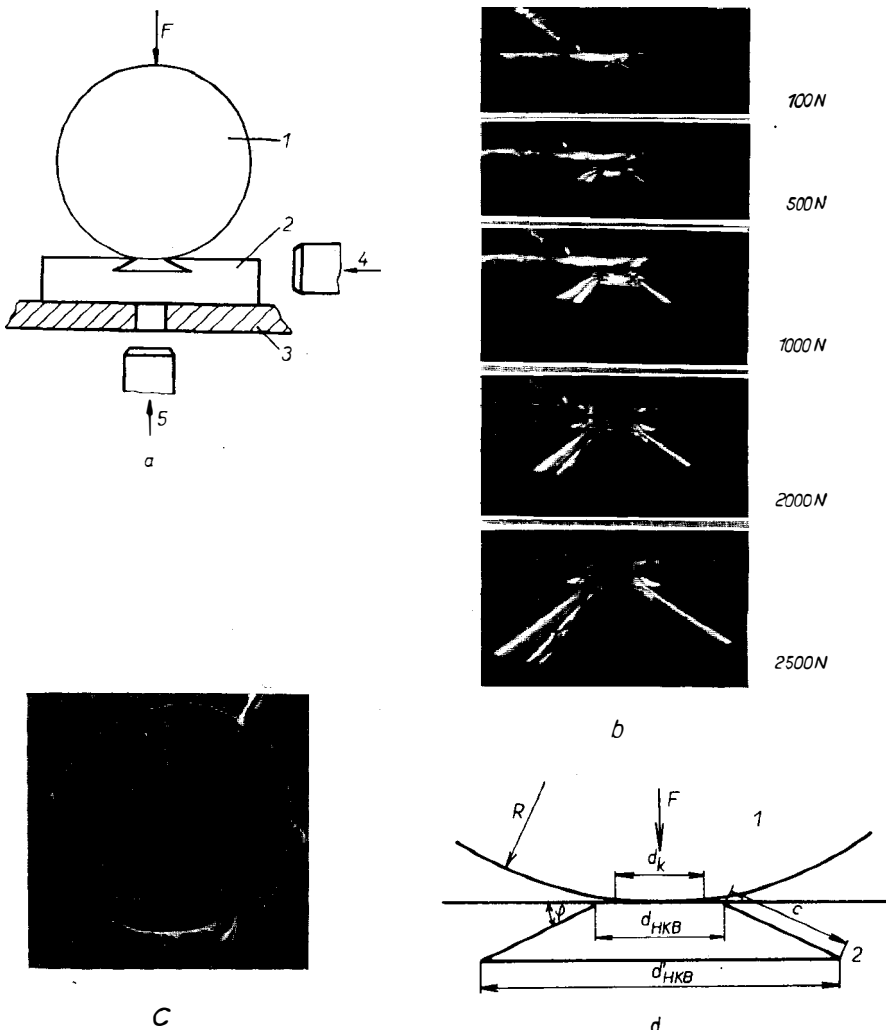


kde R = C<sub>12</sub>H<sub>25</sub> — resp. s R = C<sub>9</sub>H<sub>19</sub> — (nonylfenylpropylglykoleter NPPG s hodnotou

$\bar{n} = 8,1; 9,6; 10,4; 13,2$ ,

jakož i R — (O — CH<sub>2</sub> — CH<sub>2</sub>)<sub>n</sub> — OH s R = C<sub>12</sub>H<sub>25</sub> — (dodecylpropylglykoleter DPG s hodnotou

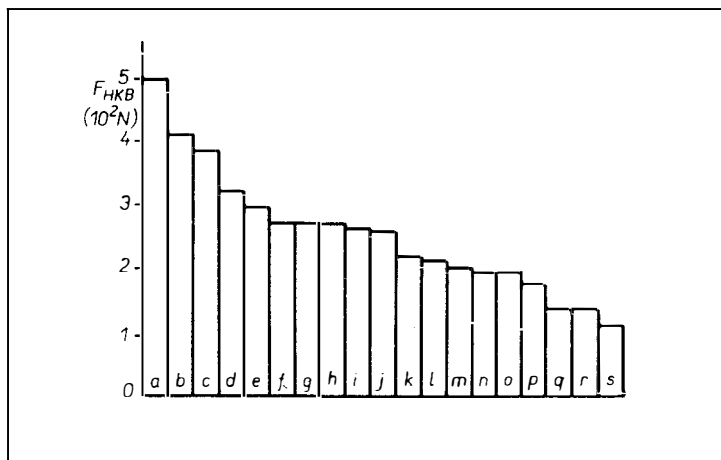
$\bar{n} = 12,5$ .



Obr. 2. Princip měření pro mikroskopické (axiální a ortogonální) pozorování (a); snímky světelným mikroskopem Hertzova zápraskového kužele (ortogonální) za různého zatížení (b); REM-snímky povrchové trhlínky a znázornění geometrických poměrů při tlisku kuličky (c, d).

Střední síla  $F_{\text{HKB}}$  vedoucí k Hertzovu lomu (varianta 1) je určena vlivem zkoumaných prostředí na původní povrch skla s jeho submikroskopickými centry koncentrace napětí. Vyšší hodnota  $F_{\text{HKB}}$  odpovídá větší pevnosti v lomu. Je značný rozdíl minimálních (NTS)<sup>2</sup> a maximálních (DPPG 14,5) hodnot (olejová kyselina) (asi 5×), viz obr. 3;  $F_{\text{HKB}}$  je střední hodnota z dvaceti pěti měření tlisku kuličky.

<sup>2)</sup> Trietanolaminové mýdlo kyseliny nafténové.

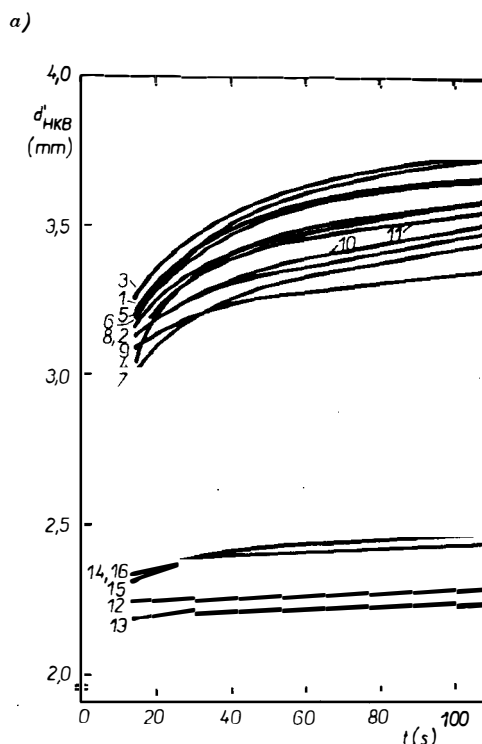
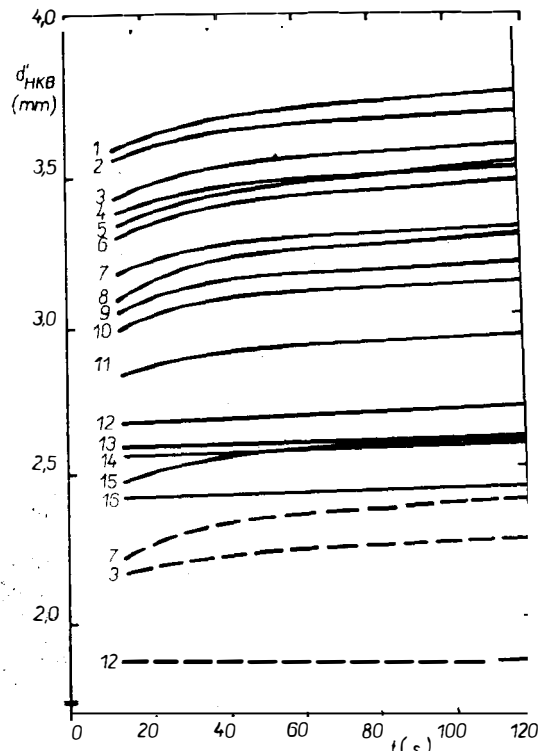


Obraz 3. Vliv vybraných kapalných prostředí na střední hodnotu  $F_{HKB}$  — u skla BK 7 ( $v = 300 \text{ N m}^{-1}$ ;  $R = 1,25 \text{ mm}$ ).  $v$ : rychlosť zatěžování;  $R$ : poloměr kuličky.

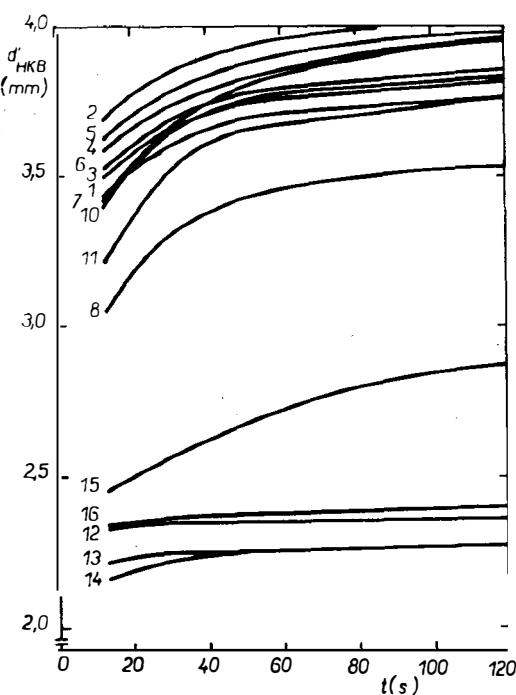
a — dimethylsulfoxid; b — n-dodecylfenylpolyglykoleter  $C_{12}H_{25}-\text{C}_6\text{H}_5-\text{C}-(\text{O}-\text{CH}_2-\text{CH}_2)_n\text{OH}$   
 s hodnotou  $\bar{n} = 14,5$ ; [DPPG (14,5)]; c — acetone; d — n-nonylfenylpropylglykoleter s hodnotou  
 $\bar{n} = 13$  (NPPG), zředěný vodný roztok ( $c = 10^{-5} \text{ mol/l}$ ); e — pyridin; f — sulfoester kyseliny jantarové;  
 g — NPPG koncentrovaný; h —  $C_{14}\text{H}_{29}\text{OH}$ , zředěný vodný roztok ( $c = 10^{-8} \text{ mol/l}$ ); i — DPPG  
 $(7,5)$ , koncentrovaný; j — acetonitril; k — dioxan; l — n-heptan; m — glycerol; n — DPPG (7,5)  
 vodný roztok ( $c = 10^{-3} \text{ mol/l}$ ); o — xylen; p —  $\text{H}_2\text{O}$ ; q — trietanolaminové mýdlo kyseliny olejové;  
 r —  $C_{14}\text{H}_{29}\text{OH}$ , vodný roztok ( $c = 10^{-3} \text{ mol/l}$ ); s — trietanolaminové mýdlo kyseliny nafténové,  
 vodný roztok ( $c = 10^{-1} \text{ mol/l}$ ).

Viditelný vznik záprasku je velmi značně podpořen použitými prostředími. Průměrný variační koeficient ( $s_{HKB}/\bar{F}_{HKB}$ ) leží v rozmezí 20 až 60 % — podobně jako u běžných měření pevnosti skel. Je třeba mít za to, že stav provozně dodaných a vyleštěných vzorků podléhá náhodnému kolísání, které zde nebylo blíže určováno. Přes tento nedefinovaný vliv a existující standardní úchylku lze pozorovat zřetelnou závislost, která je dalším studiem jednoznačně doložena. Výsledky studia růstu trhlinky při rychle přiloženém konstantním zatížení (1000 N) ukázaly také značné rozdíly vlivu různých kapalin na čerstvě vytvořený, definovaný a na povrchu skla nezávislý záprask. Vicenásobná tvorba záprasku v oblasti kontaktního kroužku následkem velkého zatížení nemá vliv na chování při růstu Hertzova kužele (bylo studováno až do 3000 N).

Obrázky 4a) až c) znázornují střední hodnoty  $d'_{HKB}$  v závislosti na době zatížení různých skel a různých použitých kapalin. Protože tahové napětí rychle klesá ve směru postupu trhlinky, je třeba zvláště hodnotit velikou variační šířku hodnot  $d'_{HKB}$  pro různé kapaliny. Časová závislost  $d'_{HKB}$  roste s rostoucím vzájemným působením mezi sklem a kapalinou, podmíněným větším obsahem alkalických iontů ve skle, přerušujících můstkové kyslíky. U křemenného skla je značně menší než u skel BaK4 (10 mol %  $\text{R}_2\text{O}$ ) a BK7 (15 mol %  $\text{R}_2\text{O}$ ), přičemž jsou aktivační energie dány i podíly jiných oxidů. Pořadí SQ1, BaK4, BK7 lze pozorovat i v následujících výsledcích. Při určitém složení skla je prodloužení trhlinky s dobou u povrchově aktivních prostředí (konstantní zatížení) podstatně větší. Při dlouhých dobách dochází k asymptotickému přiblížování k hraniční hodnotě, což je podporováno změnou pole napětí během růstu trhlinky.

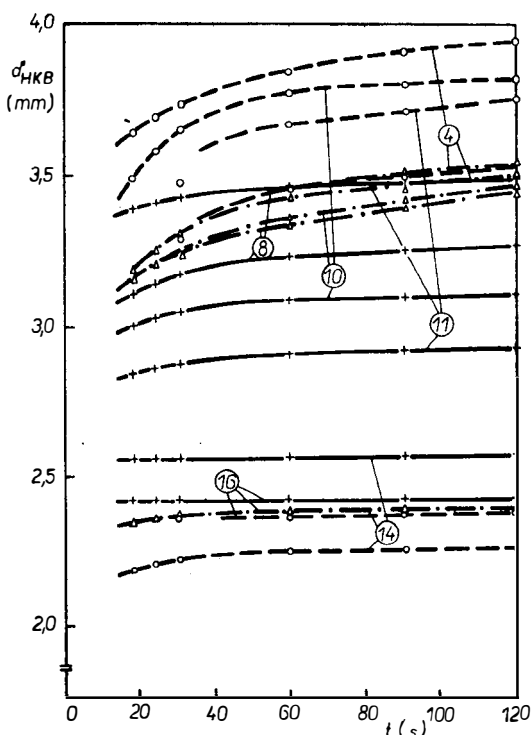


c)



Obr. 4. Závislost středních hodnot  $d'_\text{HKB}$  na době zatištění  $t$  a vlivu prostředí pro křemenné sklo a krystalickou látku typu  $\text{Li}_2\text{O}—\text{Al}_2\text{O}_3—\text{SiO}_2$  (a) sklo BK-7 (b) a pro sklo BaK-4 (c). 1 — alkyl-s; 2 — alkylarylsulfonát; 3 —  $\text{H}_2\text{O}$ ; 4 — dioxan; 5 — etanolaminové mýdlo kyseliny olejové; 6 — metylglykóler  $\text{C}_{12}\text{H}_{25}—(\text{---O---CH}_2\text{---CH}_2)_n\text{---OH}$  notou  $n = 12,5$  [DPG (12,5)]; 10 — pyridin — acetonitril; 12 — silikonový olej; 13 — kyselková; 14 — xylen; 15 — DPPG (14,5); 16 — n-

Vliv složení skla na účinek prostředí je znázorněn na obr. 5. Zatímco prostředí, které podporuje trhlinky (např. dioxan, DMSO, pyridin, acetonitril), způsobuje ve sklech s menší strukturní vazební energií za stejných podmínek větší kuželové záprasky, je tomu u prostředí brzdících tvorbu trhlinek (xylen, *n*-heptan) opačně. Překvapující je zřetelně menší účinek vlivu prostředí na skelně krystalickou látku



Obr. 5. Znázornění rozdílného vlivu kapalného prostředí na hodnotu  $d'_\text{HKB}$  u skel různého chemického složení (+ křemenné sklo;  $\Delta$  — sklo BK7; O sklo BaK-4).

Hodnota pro 60 s křivky  $d'_\text{HKB}$  —  $t$  leží např. u skelně krystalické látky při  $d'_\text{HKB} = 2,23$  mm pro vodu podstatně niže než u SQ1 (3,52 mm). Vedle zřetelně menší reaktivnosti povrchu skelně krystalické látky (i u jiných prostředí vznikají podstatně menší kuželové záprasky) působí na omezení záprasku i mechanismus jemně krystalické textury. I časová závislost je menší.

Dále byly měřeny průměry základny kuželes  $d'_\text{HKB}$  v závislosti na velikosti působící síly  $F$  u skel SQ1, BaK4 a BK7, za použití vybraných kapalin (varianta 3). Kapaliny podporující trhliny jeví vyšší vzestup nelineárních křivek. Ačkoliv jsou absolutní hodnoty ( $d'_\text{HKB}$ ) u kapalin brzdících trhlinky menší než u kapalin podporujících trhlinky, chovají se rozptyly výsledků měření opačně. Tak je např. variační koeficient  $s_{d'_\text{HKB}}/d'_\text{HKB}$  pro kyselinu olejovou (0,14) asi 3,5krát větší než pro vodu (0,04). Rozptyly výsledků měření jsou u této studie velmi malé. Je třeba asi považovat za zodpovědnou pro rozdílný účinek prostředí na hrotu trhlinky velikost molekul a viskozitu. Při vynesení závislosti  $d'_\text{HKB}^{-3}$  na  $F^2$  jsou průběhy

křivek lineární a procházejí počátkem os. Z Roeslerových úvah [34] a z Griffithovy podmínky vyplývá pro energii lomu:

$$\Gamma = \text{const. } F^2 \cdot d'_{\text{HKB}}^{-3}.$$

Z poměru vzestupu funkce  $d'_{\text{HKB}} = f/F^{2/3}$  vychází relativní energie lomu ( $\Gamma_l/\Gamma_{\text{H}_2\text{O}}$ ). Rozdíly energií lomu vybraných kapalin (vztaženo na  $\text{H}_2\text{O}$ ) jsou velké, přičemž jsou, jak se dalo očekávat, nejmenší u SQ1 (tab. I). Metoda vtísku kuličky je tedy jednoduchou metodou pro určení energie lomu za vlivu prostředí. Výsledky ukazují, že zkoumané kapaliny značně ovlivňují energii lomu.

Tabulka I

Relativní energie lomu (vztaženo na  $\text{H}_2\text{O}$ ) pro SQ1, BaK4 a BK7 za vybraných prostředí

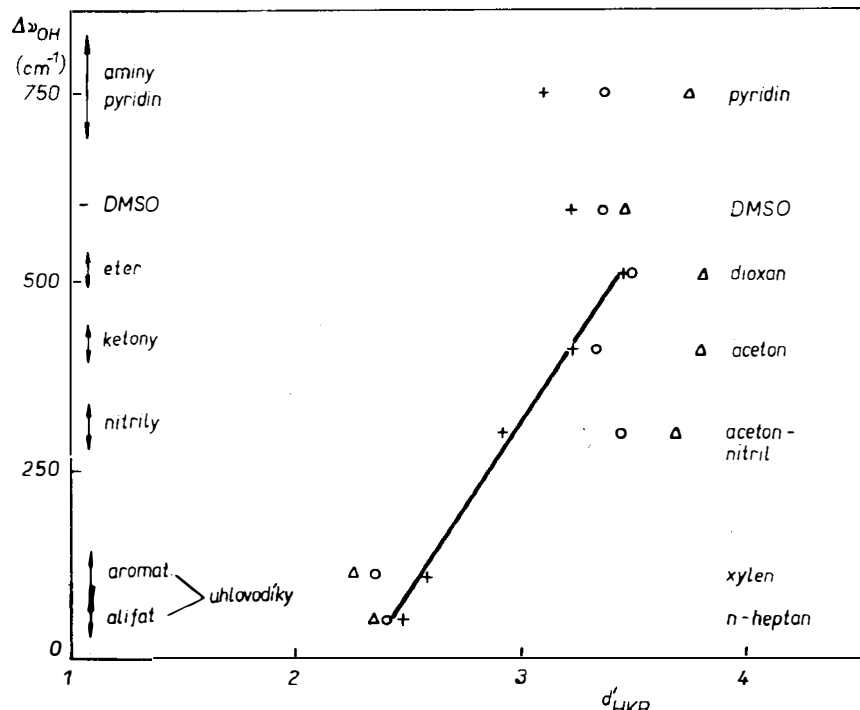
|                      | SQ1 | BaK4 | BK7 |
|----------------------|-----|------|-----|
| $\text{H}_2\text{O}$ | 1,0 | 1,0  | 1,0 |
| DPPG [14,5]          | 2,1 | 3,6  | 1,4 |
| silikonový olej      | 2,3 | 4,1  | 4,4 |
| OTS                  |     |      | 1,0 |
| kyselina olejová     |     |      | 3,0 |

## DISKUSE

Studované kapaliny lze zařadit do jednotlivých skupin. Zařazení lze provést vzhledem k polaritě, ale také vzhledem k protonakeceptorové schopnosti (obr. 6). Nepolární látky (*n*-heptan, xylen) způsobují, nezávisle na složení skla, nejkratší trhlinky. Naproti tomu polární molekuly, u nichž je schopnost akceptora protonů popř. akceptora elektronů podstatně větší, způsobují delší trhlinky (obr. 4).

Chování molekul jako akceptora protonů se projevuje kvantitativně v posunu frekvence  $\Delta\nu_{\text{OH}}$  pozorovatelném v infračerveném spektru mezi volnými hydroxylovými skupinami a skupinami ovlivněnými vazbami vodíkových můstků [37, 38], přičemž přicházejí v úvahu OH-skupiny povrchové vrstvy skla (SiOH-, BOH-, OH-skupiny adsorbované vody v povrchové vrstvě). Rovněž chování akceptora elektronů Lewisových kyselých center lze přesně zjistit spektroskopickým měřením v oblasti infračervené, např. posunem pásu  $\nu(C=0)$  — nebo  $\nu(C\equiv 0)$  — při vzájemném působení s Lewisovými zásadami (ketony, nitrily) [38], [39]. Další možnosti kvantitativního zjištění EDA-chování spočívají na konceptu čísel donorů podle Gutmannova [40], [41], popř. na číslech vyvinutých Maijsen [42]. Všechny tyto údaje jsou ve vzájemné přesné korelace. Další korelace s kolorimetrickými daty (teplo smáčení) nalezl Hattori a spolupracovníci [43] při studiu alkalicko-boritých skel ve formě prášku. Je dále známo, že je povrchová energie oxidů snižována vzájemnými působeními PDA popř. EDA (2, 10). Zde je opět přímo zřetelná souvislost s mechanickými efekty. Při tom hraje zvláštní úlohu povrchově aktivní látky.

U předložené studie jsou pravděpodobná vzájemná působení PDA a EDA. Při tom jsou možná vzájemná působení s OH-skupinami povrchové vrstvy (gelová vrstva), jakož i s Lewisovými centry vzniklými lomem, jako jsou centra Si—, B—, =B—O—, ≡Si—●—, která by bylo možné zjišťovat např. EPR-spektroskopii [44].



Obr. 6. Souvislost mezi hodnotami  $d'_{HKB}$  a schopnosti přijimati protony různých vybraných akceptorů protonů (vyjádřeno posunutím frekvence  $\Delta\nu_{OH}$ ) u skel různého chemického složení (+ kremenné sklo, Δ-sklo BK-7, o-sklo BaK-4).

Tato poslední jsou účinná tím, že přetržené chemické vazby při lomu mají snahu se znova nasytit.

Při vysvětlení experimentálních zjištění jsou vedle vzájemných působení s povrchovými centry skla významné geometrické faktory ve spojení s mechanicko-chemickými účinky. Velké molekuly nemohou následkem svého objemu vnikat do malých trhlinek, popř. až ke špičce trhlinky. Z tohoto hlediska má ze zkoumaných sloučenin voda a snad ještě  $\text{CH}_3\text{OH}$  a  $\text{CH}_3\text{CN}$  zvláštní postavení. Ve srovnání se všemi ostatními sloučeninami s průměrem menším než 0,2 nm má nejmenší průměr molekul. Je proto možné bez obtíží vnikání do trhlinek. Při tom je třeba počítat s kapilární kondenzací. Pokud jde o chování PDA i EDA (tvorba koordinačních vazeb mezi Si a  $\text{H}_2\text{O}$  je dobře známa z objemové a povrchové chemie [45, 46]), je třeba zařadit molekulu vody do středu hodnot energií, o nichž se zde diskutuje. Kromě toho má úloha vody základní význam při trhání siloxanových můstků, stejně jako tím vyvolané pochody iontové výměny [47–50]. Vezmeme-li v úvahu na druhé straně rozměry molekul druhých sloučenin (již i *n*-alkyl skupina má průměr asi 0,5 nm), je pochopitelné, že pronikání molekuly obsahující takové skupiny ke hrotu trhlinky je problematické nebo zcela nemožné. Tak by mohlo být z této důvodů geometricky podmíněno zařazení kyseliny olejové a polyglykoleteru DPPG [14, 5]. Zařazení ostatních povrchově aktivních látek (viz obr. 3 a 4) je velmi pravděpodobně podmíněno vodou přítomnou v těchto roztocích. Tyto roztoky měly

koncentrace mezi 50 % a 80 %. Zde má ve svrchu uvedeném smyslu obsažená voda zřejmě rozhodující vliv. Relativně malý rozdíl trhlinky u pyridinu není dosud vysvětlen.

Pro rozdílné působení zkoumaných médií jsou rozhodující energetické i geometrické aspekty. „Makroskopické“ vlastnosti (difúze, viskozita, napětí na rozhraní) neprojevují, kromě glycerolu, žádné takové rozdíly, které by způsobovaly pozorovanou diferenci.

Předložené výsledky ukazují na velmi komplexní účinek různých kapalných prostředí na tvorbu a růst trhlinek ve sklech a v jedné skelně krystalické látce. Z toho plynou významná hlediska pro technologie mechanického opracování silikátových materiálů.

## LITERATURA

- [1] Rebinder P.; *Z. Phys.* **72**, 191 (1931).
- [2] Wolf K. L.; *Physik und Chemie der Grenzflächen*, Svazek 2, Springer-Verlag, Berlin—Göttingen—Heidelberg 1959.
- [3] Smekal A.; *Ergebn. exakt. Naturwiss.* **15**, 106 (1936).
- [4] Smekal A.; *Naturwissenschaften* **30**, 224 (1942).
- [5] Klemm W., Smekal A.; *Naturwissenschaften* **29**, 710 (1941).
- [6] Ramsauer R.; *Glastechn. Ber.* **24**, 239 (1951).
- [7] Wishmann F. G., Petzold A.; *Silikattechn.* **11**, 151 (1960).
- [8] Kerkhof F., Schinker M.; *Glastechn. Ber.* **45**, 228 (1972).
- [9] Richter H., Schinker M.; *Glastechn. Ber.* **50**, 129 (1977).
- [10] Kerkhof F.; *Bruchvorgänge in Gläsern*. Verlag der Deutschen Glastechn. Ges., Frankfurt/M. 1970.
- [11] Westwood A. R. C., Goldheim D. L., Lye R. G.; *Phil. Mag.*, Ser. **8**, 16, 505 (1967).
- [12] Westbrook J. H., Jorgeson P. J.; *Trans. AIME* **233**, 425 (1965).
- [13] Gunasekera S. P., Holloway D. G.; *Phys. Chem. Glasses* **14**, 45 (1973).
- [14] v. Engelhardt W.; *Nachr. Akad. Wiss. Göttingen, Math. Phys. Kl.* 1942, Heft 2, 7.
- [15] Weyl W. A.; *Glass Sci. Bull.* **4**, 89 (1946).
- [16] v. Engelhardt W.; *Naturwissenschaften* **33**, 195 (1946).
- [17] Tamman G., Elsner v. Gronow H.; *Z. anorg. allg. Chem.* **201**, 37 (1931).
- [18] Schieb G.; *Glas-Email-Keramo-Techn.* **2**, 22 (1951).
- [19] Reitmayer F.; *Glastechn. Ber.* **39**, 101 (1966).
- [20] Hillig W. B., Charles R. J. v knize: *High Strength Materials* (Ed. V. F. Zackay), str. 682 až 705. John Wiley, New York 1965.
- [21] Pahlwisch G., Kern D.; *Feinwerktechnik* **72**, 175 (1968).
- [22] Wapler H.; *Industrie-Diamanten-Rundschau* **2**, 217 (1968).
- [23] Wiederhorn S. M.; *J. Amer. Ceram. Soc.* **50**, 407 (1967).
- [24] Wachtman jr. J. B.; *J. Amer. Ceram. Soc.* **57**, 50 (1974).
- [25] Freiman S. W., Mulville D. R., Mast P. W.; *J. Mater. Sci.* **8**, 1527 (1973).
- [26] Steeger G.; *Einfluss polarer Flüssigkeiten auf das Langsambruchverhalten von Silikatgläsern*. Dissertation, Erlangen-Nürnberg 1976.
- [27] Freiman S. W.; *J. Amer. Ceram. Soc.* **58**, 339 (1975).
- [28] Evans A. G.; *J. Mater. Sci.* **7**, 1137 (1972).
- [29] Freiman S. W.; *J. Amer. Ceram. Soc.* **57**, 350 (1974).
- [30] Freiman S. W.; *J. Amer. Ceram. Soc.* **57**, 340 (1974).
- [31] Weidmann G. W., Holloway D. G.; *Phys. Chem. Glasses* **15**, 116 (1974).
- [32] Bajkova L. G., Berstein V. A., Vitman F. F., Volovec L. D., Pugačev G. S., Puch V. P.; *Fiz. tverdogo tela* **10**, 1315 (1968).
- [33] Evsejev V. D.; *Fiz. Chim. Stekla* **5**, 159 (1979).
- [34] Roesler F. G.; *Proc. Phys. Soc. B* **69**, 981 (1967).
- [35] Culf C. J.; *J. Soc. Glass Technol.* **41**, 157-T (1957).
- [36] Moorthy V. K., Tooley F. V.; *J. Amer. Ceram. Soc.* **39**, 215 (1956).
- [37] Kiselev A. V., Lygin V. I.; *Infrakrasnije spektry poverchnosních sojedinenij*. Nauka, Moskva 1972.
- [38] Winde H., Fink P., Köhler A.; *Z. Chem.* **17**, 41 (1977).

- [39] Paul R. C., Chadba S. L.; J. Inorg. Nucl. Chem. 31, 1679 (1969).
- [40] Gutmann V., Hengge E.; *Allgemeine und anorganische Chemie*, Verlag Chemie, Weinheim 1975.
- [41] Gutmann V.; Allgem. und Prakt. Chem. 21, 289 (1970).
- [42] Maijs L. A.; Latvijas PSR Zinatu Akad. Vestis, Chim. Ser. 1972, 33.
- [43] Hattori M., Uemura N., Yoshinaga T.; Phys. Chem. Glasses 20, 65 (1979).
- [44] Achmed-Zade K. A., Zakrevskij V. A., Judin D. M.; Fiz. Chim. Stekla 2, 388 (1976).
- [45] Lidquist I.; *Inorganic adduct molecules of oxo-compounds*. Springer-Verlag, Berlin—Göttingen—Heidelberg 1963.
- [46] Sommer L. H.; *Stereochemistry, mechanism and silicon*. McGraw Hill, New York 1965.
- [47] Ždanov S. P.; Wiss. Beitr. Friedrich Schiller-Universität Jena 1981, 33.
- [48] Boksay Z., Bouquet G.; Phys. Chem. Glasses 16, 81 (1975).
- [49] Boksay Z.; Wiss. Beitr. Friedrich-Schiller-Universität Jena 1981, 69.
- [50] Doremus R. H.; Wiss. Beiträge Friedrich-Schiller-Universität Jena 1981, 21.

## К ВЛИЯНИЮ ЖИДКИХ СРЕД НА МЕХАНИЧЕСКИЕ СВОЙСТВА СТЕКЛА

Юрген Дитер Шнапп, Гаральд Винде, Гаральд Блюбель и Магдалена Глацель

Университет им. Фридриха Шиллера, секция технологии и секция химии  
ГДР — 6900 — г. Йена

Жидкие среды многограничные влияют на механические свойства поверхности стекла. На рис. 1 видно механическое поведение по образованию изломов под влиянием различных органических жидкостей. В статье обсуждаются результаты исследований образования и роста трещин с помощью различных версий способом внедрения шарика (рис. 2) под влиянием нескольких водных растворов и жидкостей с разным протонно-акцепторным поведением.

Средняя сила  $F_{\text{НКВ}}$ , которая является причиной конического излома Герца, показывает действие исследованных сред на субмикроскопическую концентрацию напряжений. Более высокие значения  $F_{\text{НКВ}}$  соответствуют более высоким пределам прочности на разрыв (рис. 3). В случае оптических стекол SO I BaK 4 и BK 7 были заметны также при постоянной нагрузке (1000 N) отчетливые разницы для возникающих длин трещин  $a_{\text{НКВ}}$  в зависимости от длительности нагрузки (рис. 4а—с). Влияние состава стекла на действие среды приведено на рис. 5. В случае исследованной стеклокерамики системы  $\text{Li}_2\text{O} - \text{Al}_2\text{O}_3 - \text{SiO}_2$  (рис. 4а) наряду с значительно низкой реактивностью действует механизм ограничения распространения трещин вследствие мелкокристаллической микроструктуры. Неполярные вещества (н-гептан, ксилен) — независимо от состава стекла — вызывают самые небольшие длины трещин. Полярные вещества, которые обладают более сильной протонно-акцепторной или электронно-донорной способностью, вызывают большие длины трещин. Протонно-акцепторная способность молекул соответствует смещению частоты инфракрасного поглощения  $\Delta\nu$  между свободными и вследствие образования водородных мостиков связанными гидроксильными группами на поверхности. Оказывается, что существует соотношение между  $\Delta\nu$  и  $a_{\text{НКВ}}$  (рис. 6). Наряду со взаимодействиями с поверхностными центрами стекла геометрические факторы имеют значение при объяснении экспериментальных данных, кроме того существуют механо-химические действия. Метод определения твердости вдавливанием шарика оказывается пригодным для изучения влияния сред. Из результатов получаются существенные выводы для технологий механической обработки силикатных материалов.

*Рис. 1. Зависимость скорости распространения трещины в стекле системы  $\text{Na}_2\text{O} - \text{CaO} - \text{SiO}_2$  от энерговыделения  $G_1$  в случае присутствия жидких сред:*  
*Область I: Экспоненциальное возрастание при значительно низких значениях  $G_1$  чем в вакууме. Происходит химическая реакция в глубине трещины. Нижний предел энерговыделения для  $\text{H}_2\text{O}$  составляет около  $1 \text{ Дж} \cdot \text{м}^{-2}$ .*  
*Область II: Плато — образная переходная зона с небольшим возрастанием. Здесь явления переноса вещества в трещине оказываются причиной расширения трещины. Плато для  $\text{H}_2\text{O}$  лежит приблизительно при  $10^{-2} \text{ м} \cdot \text{s}^{-1}$*

**Область III:** Сное экспоненциальное возрастание до самой высокой скорости разрушения. Оказывается, что расширение трещины не зависит от присутствующей среды. 1 — вода, 2 — ацетон, 3 — н-бутанол, 4 — толуол, 5 — парафиновое масло, 6 — вакуум.

**Рис. 2.** Принцип измерения для микроскопического наблюдения (продольный и ортогональный вид наблюдения) (а); световые микроскопические снимки конического излома Герца (ортогональный вид наблюдения) при различных нагрузках (б); сканирующий электронно-микроскопический снимок кольцевой трещины на поверхности стекла и схематическое изображение в геометрических условиях при обдавливании шарика (с, д).

**Рис. 3.** Влияние некоторых жидкых сред на среднюю силу  $F_{\text{НКВ}}$  (стекло: BK 7;  $v = 300 \text{ N} \cdot \text{мин}^{-1}$ ;  $R = 1,25 \text{ мм}$ );  $v$  — скорость нагрузки,  $R$  — радиус шарика. а — диметилсульфоокись; б — н-додецилфенилполигликолевый эфир  $C_{12}\text{H}_{25}-(-\text{O}-\text{CH}_2-\text{CH}_2-)_n-\text{OH}$ ,  $n = 14,5$  ( $DPPG(14,5)$ ) с — ацетон; д — н-нонилфенилполигликолевый эфир,  $n = 13$  ( $NPPG$ ) разбавленный водный раствор ( $c = 10^{-5} \text{ моль/л}$ ); е — пиридин; ж — эфир янтарной сульфокислоты  $g - NPPG$ , концентрат;  $h - C_{14}\text{H}_{29}\text{OH}$ , разбавленный водный  $r$ ;  $i - DPPG(7,5)$ , концентрат;  $j -$  ацетонитрил;  $k -$  диоксан;  $l -$  н-гептан;  $m -$  глицерол;  $n - DPPG(7,5)$ ; о — ксилен;  $p - \text{H}_2\text{O}$ ;  $g -$  мыло олеиновой кислоты с триэтаноламином ( $OTS$ ), концентрат;  $r - C_{14}\text{H}_{29}\text{OH}$ , водный раствор ( $c = 10^{-3} \text{ моль/л}$ );  $s -$  мыло смеси нафтеновых кислот с триэтаноламином ( $NTS$ ), водный раствор ( $c = 10^{-1} \text{ моль/л}$ ), водный раствор ( $c = 10^{-3} \text{ моль/л}$ ).

**Рис. 4.** Зависимость средних длин трещин  $d'_{\text{НКВ}}$  от длительности нагрузки  $t$  под влиянием жидких сред для кварцевого стекла и стеклокерамики системы  $\text{Li}_2\text{O}-\text{Al}_2\text{O}_3-\text{SiO}_2$  (а). Для стёкол BK 7 (б) и BaK 4 (с).

1 — алкилсульфонат (концентрат); 2 — алкиларилсульфонат (концентрат); 3 —  $\text{H}_2\text{O}$ ; 4 — диоксан; 5 — мыло олеиновой кислоты с триэтаноламином, концентрат; 6 — метанол; 7 — ацетон; 8 — диметилсульфоокись; 9 — додецилполигликолевый эфир  $C_{12}\text{H}_{25}(-\text{O}-\text{CH}_2-\text{CH}_2-)_n-\text{OH}$ ,  $n = 12,5$  ( $DPC(12,5)$ ); 10 — пиридин; 11 — ацетонитрил; 12 — силиконовое масло; 13 — олеиновая кислота; 14 — ксилен; 15 —  $DPPG(14,5)$ ; 16 — н-гептан.

**Рис. 5.** Разное влияние жидких сред на длину трещин  $d'_{\text{НКВ}}$  в случае стёкол различного химического состава: кварцевое стекло (+); BK 7 (Δ) и BaK 4 (○).

**Рис. 6.** Изменение средних длин трещин  $d'_{\text{НКВ}}$  с протонно-акцепторной способностью различных протонных акцепторов в связи со смещением частоты валентного колебания  $\Delta\nu_{\text{ОН}}$  гидроксильной группы. в случае стёкол различных топов: кварцевое стекло (+); BK 7 (Δ) и BaK 4 (○).

## THE INFLUENCE OF FLUIDS ON THE MECHANICAL PROPERTIES OF GLASS

Jürgen Dieter Schnapp, Harald Winde, Harald Blobel and Magdalene Glatzel

Friedrich-Schiller-Universität Jena, Sektion Technologie und Sektion Chemie, DDR-6900 Jena

Fluids influence the mechanical properties of the surface of glass in many ways. Fig. 1 shows the fracture mechanical effects of selected organic fluids. The article reports on the results obtained in a study of crack formation and crack propagation due to exposure to a number of aqueous solutions of surface active agents and fluids with various proton acceptor behaviour using several variants of the ball indentation method (Fig. 2).

The average stress  $F_{\text{НКВ}}$  leading to Hertzian cone cracking reveals the effect of the media tested on submicroscopic stress concentration (crack formation). A higher  $F_{\text{НКВ}}$  corresponds to a greater strength (Fig. 3). Marked differences in crack length produced with a constant load (1000 N) in relationship to the time of loading of optical glasses SQ 1 (Fig. 4a), BaK 4 (Fig. 4b) and BK 7 (Fig. 4c) can also be observed. The influence of glass composition on crack propagation is illustrated in Fig. 5. Owing to the fine crystalline structure and a significantly lower reactivity, a mechanism limiting crack propagation is effective in a  $\text{Li}_2\text{O}-\text{Al}_2\text{O}_3-\text{SiO}_2$  glass ceramic. Non-polar substances (n-heptane, xylene) produce the shortest cracks independently of glass composition. Polar molecules, in which the proton acceptor and/or electron donor ability is significantly more pronounced, cause longer cracks. The proton acceptor behaviour of the molecule

is reflected quantitatively by the shift in the IR frequency between free hydroxyl group and those with hydrogen bridge linkage. There is a correlation between  $\Delta\eta_{OH}$  and  $d'_{HKB}$  (Fig. 6). In addition to exchange reactions with the surface centres, associated with physico-chemical effects, geometrical factors will be important for the explanation of the experimental results. The ball indentation method is well suited for the examination of the effects caused by the specific fluids. Important criteria for the mechanical technologies employed in the processing of silicate materials have been obtained from the experimental data.

*Fig. 1. Crack propagation velocity  $v_B$  in a  $\text{Na}_2\text{O}-\text{CaO}-\text{SiO}_2$  glass vs. specific fracture energy  $G_I$  for some selected fluids*

I: Exponential slope for  $G_I$  values substantially lower than for vacuum. A chemical reaction takes place in the crack tip. The lower limit of fracture energy in water is about  $1 \text{ J m}^{-2}$ .

II: Flat transition range:  $v_B$  is almost independent of  $G_I$ . The crack propagation rate is determined by media transport in the crack. The level range for water amounts to about  $10^{-2} \text{ m s}^{-1}$ .

III: The experimental and vacuum curves coincide (exponential rise up to the maximum fracture velocity at about  $10^3 \text{ m s}^{-1}$ ). Crack propagation is practically independent of the ambient medium.

1 — water, 2 — acetone, 3 — n-butanol, 4 — toluene, 5 — paraffin oil, 6 — vacuum.

*Fig. 2. Measuring principle of the microscopic (axial and orthogonal) examination (a), optical micrograph of a Hertzian cone crack (orthogonal) under different loads (b), SE micrograph of a surface ring crack (c) and the geometrical conditions of sphere indentation (c, d).*

*Fig. 3. Influence of selected liquid media on the mean value of  $F_{HKB}$  of BK 7 glass ( $v = 300 \text{ N min}^{-1}$ ;  $R = 1.25 \text{ mm}$ ). v: rate of loading; R: radius of the ball.*

a — dimethylsulphoxide; b — n-dodecylphenylpolyglycol ether

$\text{C}_{12}\text{H}_{25}-\text{CH}_2-\text{CH}_2-\text{O}-\text{CH}_2\text{CH}_2-$  with  $n = 14.5$  (DPPG (14.5)); c — acetone  
d — nonylphenylpolyglycol ether with  $n \approx 13$  (NPPG), dilute aqueous solution ( $c = 10^{-5} \text{ mole/l}$ ); e — pyridine; f — sulphoester of succinic acid; g — NPPG, concentrated;  
h —  $\text{C}_{14}\text{H}_{29}\text{OH}$ , dilute aqueous solution ( $t = 10^{-8} \text{ mole/l}$ ); i — DPPG 7.5, concentrated;  
j — methyl cyanide; k — diethylene dioxide (dioxane); l — n-heptane; m — propanetriol (glycerol); n — DPPG (7.5), aqueous solution ( $c = 10^{-3} \text{ mole/l}$ ); o — dimethylbenzene (xylene); p —  $\text{H}_2\text{O}$ ; q — oleinic soap with triethanolamine, concentrated; r —  $\text{C}_{14}\text{H}_{29}\text{OH}$ , aqueous solution ( $c = 10^{-3} \text{ mole/l}$ ); s — soap of naphthenic acids with triethanolamine, aqueous solution ( $c = 10^{-1} \text{ mole/l}$ ).

*Fig. 4. Dependence of the mean values of  $d'_{HKB}$  on the time of loading t in the presence of different liquid media for quartz glass and a glass ceramic of the  $\text{Li}_2\text{O}-\text{Al}_2\text{O}_3-\text{SiO}_2$  type (a), for BK 7 glass (b) and BaK 4 glass (c).*

1 — alkylsulphonate (concentrated); 2 — alkylarylsulphonate (concentrated); 3 —  $\text{H}_2\text{O}$ ;  
4 — diethylene dioxide (dioxane); 5 — oleinic soap with triethanolamine, concentrated;  
6 — methanol; 7 — acetone; 8 — dimethylsulphoxide; 9 — n-dodecylpolyglycolic ether  
 $\text{C}_{12}\text{H}_{25}-\text{O}-\text{CH}_2-\text{CH}_2-$  with  $n = 12.5$  (DPG (12.5)); 10 — pyridine; 11 — methylcyanide; 12 — silicone oil; 13 : oleic acid (9-octadecenoic acid); 14 — xylene;  
15 — DPPG (14.5); 16 — n-heptane.

*Fig. 5. Influence of different fluids on the  $d'_{HKB}$  — value of glasses of various chemical composition (silica glass (+), BK 7 ( $\Delta$ ), BaK 4 ( $\circ$ )).*

*Fig. 6. Dependence of the  $d'_{HKB}$  — value and the proton acceptor behaviour of different proton acceptors (frequency shift  $\Delta\nu_{OH}$ ) and glasses of various chemical composition (silica glass (+), BK 7 ( $\Delta$ ), BaK 4 ( $\circ$ )).*

M. STÖRR: DIE KAOLINLAGERSTÄTten DER DEUTSCHEN DEMOKRATISCHEN REPUBLIK (Kaolinové ložiská NDR) I Akademie-Verlag-Berlin, 1983, 226 str. 45.— M.

Německá demokratická republika ročne produkuje 400 kt plaveného kaolínu (ČSSR 550 kt), čo predstavuje 2,3 % celosvetovej produkcie tejto vzácnej univerzálnnej suroviny. Monografia o kaolínovych ložiskách NDR, ktorej autorom je významný geologický vedec Prof. Manfred Störr z Univerzity Greifswald, vyšla v edícii „Schriftenreihe für geologische Wissenschaften“, ktorú vydáva Geologická spoločnosť NDR (GGW).